

摩擦性塑性体に及ぼす地山中の素直円形孔：その周辺地山の
塑性流動領域の分布について

徳島大学工学部 正員 小田 英一
同 工業短大 正員 山上 隆男

1. 予てのこと

水平な地表面に存在する地山穴、土、および摩擦性塑性体は、等方等塑性であり、この場合もやはり用
したところから、この半直円形地山中の円形孔に、その場合の素直な降伏条件式を降伏条件式
として、特性連立偏微分方程式を導き、物理面の特性曲線が二直線となり、双曲型偏微分方程式を
導く結果、塑性流動領域の角は、トングレ周縁上の境界条件より求めらる。この方法を用
いて、近似的な方法として、トングレ周縁の二直線形状を用いて、この場合の分布と求め、
また、H. Schmidt の理論を用いて、弾塑性境界の形、およびその大きさを決定した。

2. 特性連立偏微分方程式

図-1、図-2を参照して、P点に及ぼす二直線の素直な降伏条件式を、極座標で表すと

$$\frac{\partial F}{\partial r} + \frac{1}{r} \frac{\partial \tau_{\theta}}{\partial \theta} + \frac{1}{r} (\sigma_r - \sigma_{\theta}) = -w \cos \theta, \quad \frac{\partial \tau_{\theta}}{\partial r} + \frac{1}{r} \frac{\partial \sigma_{\theta}}{\partial \theta} + 2 \frac{\tau_{\theta}}{r} = w \sin \theta \quad (1)$$

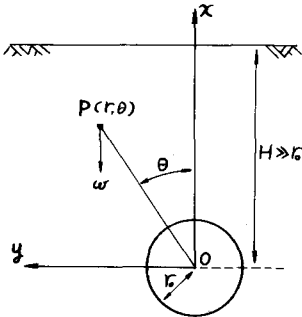


図-1

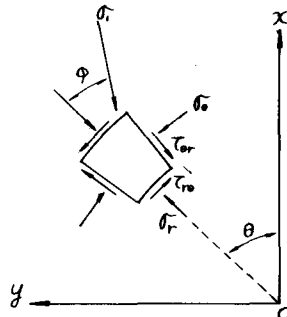


図-2

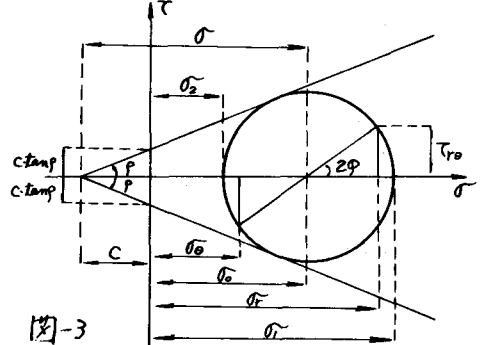


図-3

一方、降伏条件式は、図-3より(1)より

$$\left. \begin{aligned} \sigma_r &= \sigma_1 (1 + \sin \psi \cos 2\phi) - c, & \sigma_{\theta} &= \sigma_1 (1 - \sin \psi \cos 2\phi) - c \\ \tau_{\theta} &= \sigma_1 \sin \psi \sin 2\phi \end{aligned} \right\} \quad (2)$$

ここで、 ψ : 最大主応力の方向と半径方向との角 ($r=0$ の関数), ϕ : 内角 θ の角

λ : 図-3より $\lambda = 2\phi$ ($r=0$ の関数)

したがって、(2)式を(1)式に代入して

$$\left. \begin{aligned} (1 + \sin \psi \cos 2\phi) \frac{\partial \sigma_1}{\partial r} + \frac{\sin \psi \sin 2\phi}{r} \frac{\partial \sigma_1}{\partial \theta} - 2\sigma_1 \sin \psi \sin 2\phi \frac{\partial \phi}{\partial r} + \frac{2\sigma_1 \sin \psi \cos 2\phi}{r} \frac{\partial \phi}{\partial \theta} \\ + \frac{2\sigma_1 \sin \psi \cos 2\phi}{r} + w \cos \theta = 0 \\ \sin \psi \sin 2\phi \frac{\partial \sigma_1}{\partial r} + \frac{1 - \sin \psi \cos 2\phi}{r} \frac{\partial \sigma_1}{\partial \theta} + 2\sigma_1 \sin \psi \cos 2\phi \frac{\partial \phi}{\partial r} + \frac{2\sigma_1 \sin \psi \sin 2\phi}{r} \frac{\partial \phi}{\partial \theta} \\ + \frac{2\sigma_1 \sin \psi \sin 2\phi}{r} - w \sin \theta = 0 \end{aligned} \right\} \quad (3)$$

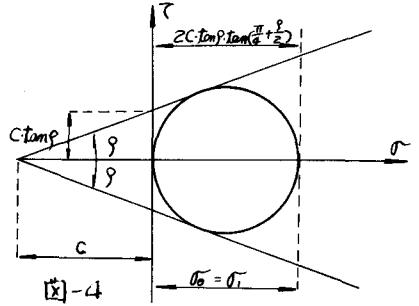
与了連立偏微分方程式の之を下の、特性常微分と下の、上記の連立方程式を解く=66、次の特性連立偏微分方程式を解く=66の形を下の、したが、式中の α, β は特性変数である。

$$\begin{aligned}
 C_+ \text{-曲線} &: \frac{\partial \theta}{\partial \alpha} = \frac{1}{r} \cdot \tan\left(\frac{\pi}{4} - \frac{\rho}{2} + \phi\right) \frac{\partial r}{\partial \alpha} \\
 C_- \text{-曲線} &: \frac{\partial \theta}{\partial \beta} = \frac{1}{r} \cdot \tan\left(-\left(\frac{\pi}{4} - \frac{\rho}{2}\right) + \phi\right) \frac{\partial r}{\partial \beta} \\
 \Gamma_+ \text{-曲線} &: \cos^2 \frac{\partial \theta}{\partial \alpha} + \alpha \cdot \sin 2\rho \frac{\partial \theta}{\partial \alpha} + \{2\alpha \sin \rho \cdot \sin 2\phi - r \cdot \omega \{ \sin \theta + \sin \rho \times \\
 &\quad \sin(2\phi + \theta) \} \} \frac{\partial \theta}{\partial \alpha} - \left\{ \frac{2\alpha \sin \rho}{r} \cdot (\sin \rho - \cos 2\phi) - \omega \{ \cos \theta - \sin \rho \} \times \right. \\
 &\quad \left. \cos(2\phi + \theta) \right\} \frac{\partial r}{\partial \alpha} = 0 \\
 \Gamma_- \text{-曲線} &: \cos^2 \frac{\partial \theta}{\partial \beta} - \alpha \cdot \sin 2\rho \frac{\partial \theta}{\partial \beta} + \{2\alpha \sin \rho \cdot \sin 2\phi - r \omega \{ \sin \theta + \sin \rho \times \\
 &\quad \sin(2\phi + \theta) \} \} \frac{\partial \theta}{\partial \beta} - \left\{ \frac{2\alpha \sin \rho}{r} \cdot (\sin \rho - \cos 2\phi) - \omega \{ \cos \theta - \sin \rho \} \times \right. \\
 &\quad \left. \cos(2\phi + \theta) \right\} \frac{\partial r}{\partial \beta} = 0
 \end{aligned} \tag{4}$$

上式で C_+ -曲線、 C_- -曲線は物位面 (r, θ) に $\alpha < 0, \beta > 0$ 、 $\alpha > 0, \beta < 0$ の二つ線を示す。また、 Γ_+ -曲線、 Γ_- -曲線は応力面 (α, ϕ) に $\alpha < 0, \phi > 0$ 、 $\alpha > 0, \phi < 0$ の二つ線を示す。

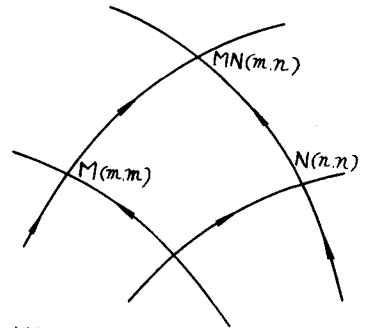
3. 応力面での解法

円筒の応力面では、何の点にも $\alpha < 0, \phi < \pi/2$ 、 $\alpha = -\tan \rho \cdot \tan(\pi/4 + \rho/2) + c$ (図-4参照)、 c は境界条件より、 C_+ 、 C_- 二曲線(二り線)の交点座標 (r, θ) 、 α と ϕ の値を (α, ϕ) の値と、(4)式を(1)と近似の解法より、 α を求めると、(2)-(5)より、 c の値の交点がある、M点、N点の各値が既知で、 α と ϕ のMN点の値を求めると、 α の結果が α と ϕ 、MN点の座標 (r_m, θ_m) は



$$r_{mn} = \frac{(Q_2 - Q_1) \cdot \theta_{mn} + H_2 - H_1}{F_1 - F_2}, \quad \theta_{mn} = \frac{-B \pm \sqrt{B^2 - 4AC}}{2A}$$

$$\begin{aligned}
 F_1 &= \frac{Q_{mn}}{z} + \tan\left(\frac{\pi}{4} - \frac{\rho}{2}\right) \phi_{mn}, & Q_1 &= -\frac{r_m}{z} \\
 F_2 &= \frac{Q_{mn}}{z} + \tan\left(-\left(\frac{\pi}{4} - \frac{\rho}{2}\right)\right) \phi_{mn}, & Q_2 &= -\frac{r_n}{z} \\
 H_1 &= r_m \left\{ \frac{Q_{mn}}{z} - \tan\left(\frac{\pi}{4} - \frac{\rho}{2}\right) \phi_{mn} \right\} \\
 H_2 &= r_n \left\{ \frac{Q_{mn}}{z} - \tan\left(-\left(\frac{\pi}{4} - \frac{\rho}{2}\right)\right) \phi_{mn} \right\} \\
 A &= -\frac{1}{2} (Q_2 - Q_1)^2
 \end{aligned}$$



$$B = (F_1 Q_2 - F_2 Q_1) (Q_2 - Q_1) - \frac{1}{2} (Q_2 - Q_1) (H_2 - H_1), \quad C = (F_1 Q_2 - F_2 Q_1) (H_2 - H_1) + (H_2 - H_1) (F_1 - F_2)$$

また、MN点の座標 (α_m, ϕ_m) は

$$r_{mn} = \frac{(R_2 Q_1 - R_1 Q_2) \phi_m + S_2 Q_1 - S_1 Q_2}{P_1 Q_2 - P_2 Q_1}, \quad \phi_m = \frac{-E \pm \sqrt{E^2 - 4DF}}{2D}$$

$$\begin{aligned}
 P_1 &= \cos^2 \rho - \frac{\sin 2\rho}{z} \phi_m + \sin \rho \cdot \sin 2\phi_m \cdot (\theta_m - \theta_{mn}) - \frac{2 \sin \rho}{r_m + r_n} \cdot (\sin \rho - \cos 2\phi_m) \cdot (r_m - r_n) \\
 Q_1 &= \frac{\sin 2\rho}{z}, \quad R_1 = \frac{1}{2} \alpha_m \cdot \sin 2\rho, \quad S_1 = -\alpha_m \cdot \cos^2 \rho - \frac{\alpha_m}{z} \phi_m \cdot \sin 2\rho + \left\{ \frac{\alpha_m}{r_m} \cdot \sin \rho \cdot \sin 2\phi_m \right. \\
 &\quad \left. - \omega \frac{r_m + r_n}{z} \left\{ \sin \frac{\theta_m + \theta_{mn}}{2} + \sin \rho \cdot \sin(2\phi_m + \frac{\theta_m + \theta_{mn}}{2}) \right\} \right\} \cdot (\theta_m - \theta_{mn}) - \left\{ \frac{2 \alpha_m \sin \rho}{r_m + r_n} \cdot (\sin \rho - \right.
 \end{aligned}$$

$$\cos 2\varphi_{nn}) - \omega \left\{ \cos \frac{\theta_{nn} + \theta_{nn}}{2} - \sin \varphi \cdot \cos (2\varphi_{nn} + \frac{\theta_{nn} + \theta_{nn}}{2}) \right\} \cdot (r_{nn} - r_{nn})$$

$$P_2 = \cos^2 \varphi + \frac{\sin 2\varphi}{2} \varphi_{nn} + \sin \varphi \cdot \sin 2\varphi_{nn} \cdot (\theta_{nn} - \theta_{nn}) - \frac{2 \cdot \sin \varphi}{r_{nn} + r_{nn}} (\sin \varphi - \cos 2\varphi_{nn}) \cdot (r_{nn} - r_{nn})$$

$$Q_2 = -\frac{1}{2} \sin 2\varphi, R_2 = \frac{1}{2} \sin \varphi \cdot \sin 2\varphi, S_2 = -\frac{1}{2} \sin \varphi \cdot \cos^2 \varphi + \frac{\sin \varphi}{2} \varphi_{nn} \cdot \sin 2\varphi + \left[\frac{\sin \varphi}{r_{nn}} \cdot \sin \varphi \cdot \sin 2\varphi_{nn} \right. \\ \left. - \omega \frac{r_{nn} + r_{nn}}{2} \left\{ \sin \frac{\theta_{nn} + \theta_{nn}}{2} + \sin \varphi \cdot \sin (2\varphi_{nn} + \frac{\theta_{nn} + \theta_{nn}}{2}) \right\} \right] \cdot (\theta_{nn} - \theta_{nn}) - \left[\frac{2 \sin \varphi}{r_{nn} + r_{nn}} \cdot (\sin \varphi - \cos 2\varphi_{nn}) - \omega \left\{ \cos \frac{\theta_{nn} + \theta_{nn}}{2} - \sin \varphi \cdot \cos (2\varphi_{nn} + \frac{\theta_{nn} + \theta_{nn}}{2}) \right\} \right] \cdot (r_{nn} - r_{nn})$$

$$D = (Q_1 R_2 - Q_2 R_1)^2, E = (P_1 R_2 - R_1 P_1)(R_2 Q_1 - R_1 Q_2) + (Q_1 R_2 - Q_2 R_1)(S_2 Q_1 - S_1 Q_2)$$

$$F = (P_1 R_2 - R_1 P_1)(S_2 Q_1 - S_1 Q_2) + (P_1 Q_2 - P_2 Q_1)(S_1 R_2 - S_2 R_1)$$

4. 計算の法

まず、トノネウ同地地山の全領域が塑性状態にあると仮定し、トノネウ同地山軸上を任意の数の等間隔に（実験）計算し、電子計算機-TOSBAC3400-で容量の削減を16等分して、その百分数で増やして、精度を高める（これは言うまでもない）。各等分点から出た2本の、C₁、C₂という線の交点の座標、およびその点でのφの値を首算の方法で求め、次に、地山の弾性体としての山形トノネウ同地山に求めた理論式（H. Schmidtの理論）から、この線の交点でのφの値を求め、弾塑性境界決定の法は、図13に示す通り、任意にこの線を引く、上述の塑性論、弾性論によるこの線の10%の断り(C₁)_{pl}、(C₂)_{el}を求め、この値の上に引くと、両曲線の交点の、弾塑性境界上の点があることが分かるので採用した。

5. 計算例、おまじ参考

水戸地山前山トノネウ中心までの深さ H = 10.0m
 山形トノネウ半径 r₀ = 3.0m
 地山の上層の質量密度 γ = 2.5 t/m³
 粘着力 c · tan φ = 0.375 kg/cm²
 ボアソン数 μ = 2.0

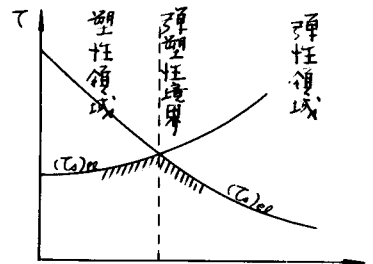


図-6 トノネウ中心の距離

に對し、山形トノネウ角φを4、5、15°、25°、33°30'、40°、の場合の、電子計算機TOSBAC3400を利用して、計算を行った。図7は結果を整理し、山形トノネウ角φが25°の場合の、この線、および首算の方法による決定した弾塑性境界の形状を、トノネウの左半断面の、プロットしたものである。図に於いて、左側を弾塑性領域、右側を弾性領域とする。また、図8は、4種異なる山形トノネウ角に對する、弾塑性境界の形状を比較したもので、この図は同一面上の面を示している。この図より、山形トノネウ角が減少するにつれて、塑性領域は拡大する傾向がある。また、トノネウの上層は最大、下層は最小となる。（算定の基礎は参考文献を参照）

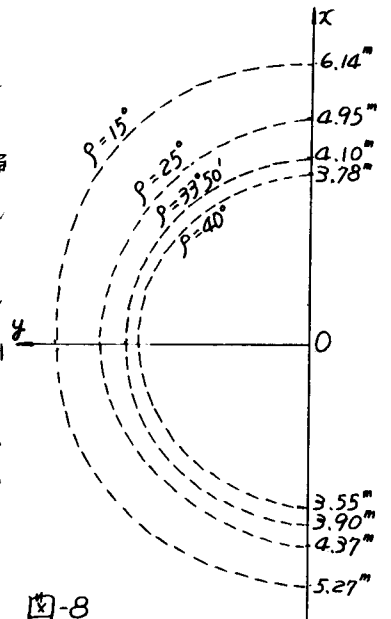


図-8

- 1) 大井鉄郎：応用偏微分方程式論 岩波書店 1951
- 2) 中川国土工学研究会講演集 577~584

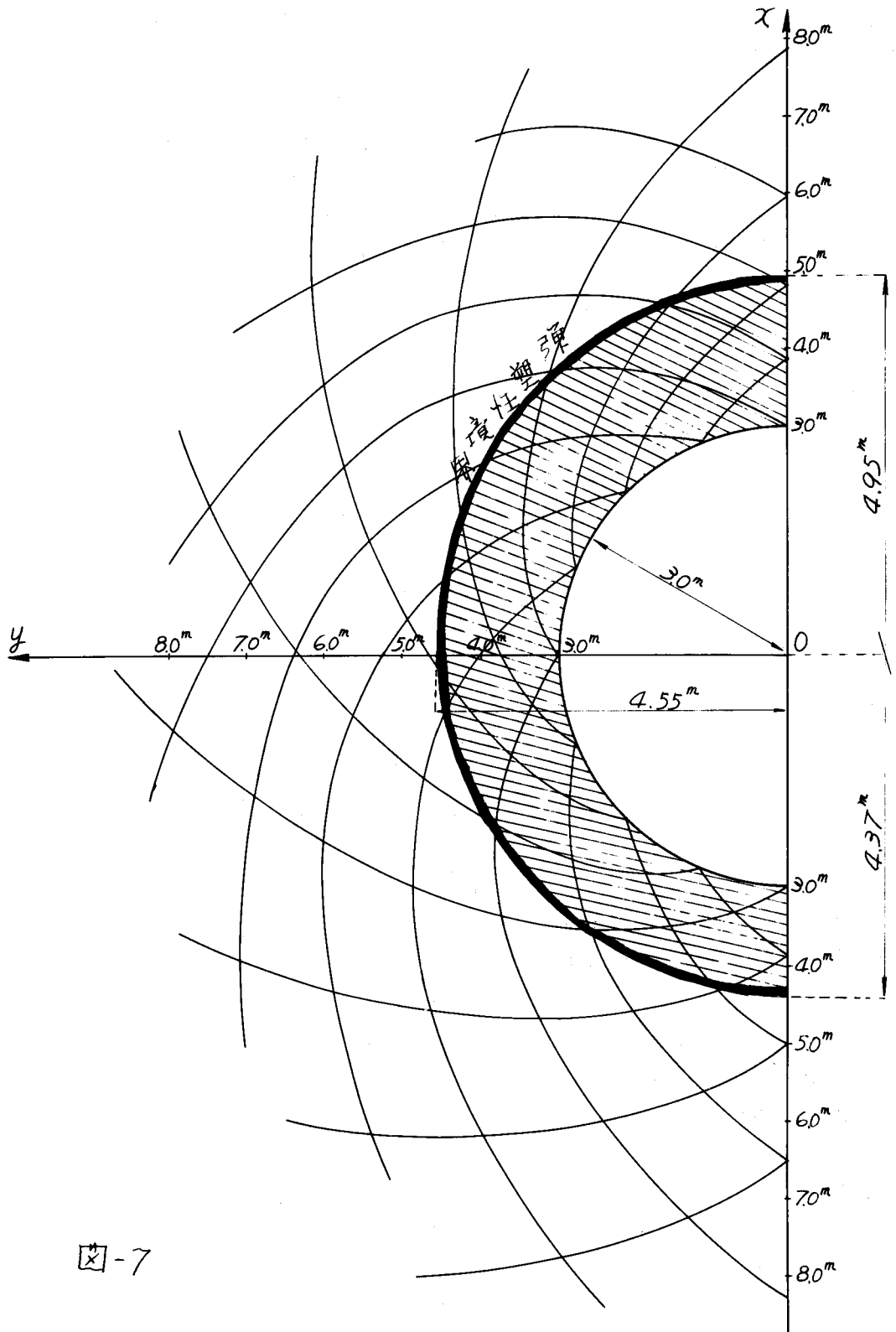


图-7